

· 研究论文 ·

## 新型多取代 Tröger's base 衍生物的合成及其晶体结构

李正义<sup>1</sup>, 庄跃<sup>1</sup>, 朱美兰<sup>2</sup>, 殷乐<sup>1</sup>, 孙小强<sup>1\*</sup>

(1. 常州大学 石油化工学院, 江苏 常州 213164; 2. 常州四药制药有限公司, 江苏 常州 213004)

**摘要:** 以邻氨基二苯甲酮为原料, 经两分子环化缩合反应制得 6,12-二芳基二苯并[*b,f*][1,5]二氮杂环辛四烯(**2a~2d**); **2a~2d**经 LiAlH<sub>4</sub>还原制得 6,12-二芳基-5,6,11,12-四氢二苯并[*b,f*][1,5]二氮杂环辛(**3a~3d**); **3a~3d**与醛(或酮)反应, 合成了一系列新型的多取代 Tröger's base 衍生物(**4a~4d** 和 **5a~7a**), 其结构经<sup>1</sup>H NMR, <sup>13</sup>C NMR, HR-MS(ESI)和 X-射线单晶衍射表征。通过分析架桥前后 **3a** (CCDC: 1498564) 和 **6a** (CCDC: 1498555) 的晶体结构, 解释了该类化合物<sup>1</sup>H NMR 中 NCH 质子及桥上取代基质子裂分的原因, 并进一步证实了 **4~7** 为非 C<sub>2</sub>轴对称结构。

**关 键 词:** 多取代 Tröger's Base 衍生物; 合成; 晶体结构; 质子裂分

**中图分类号:** O621.3; O625.63      **文献标志码:** A      **DOI:** 10.15952/j.cnki.cjsc.1005-1511.2017.08.17084

## Synthesis and Crystal Structures of Multi-substituted Tröger's Base Derivatives

LI Zheng-yi<sup>1</sup>, ZHUANG Yue<sup>1</sup>, ZHU Mei-lan<sup>2</sup>, YIN Yue<sup>1</sup>, SUN Xiao-qiang<sup>1\*</sup>

(1. School of Petrochemical Engineering, Changzhou University, Changzhou 213164, China;

2. Changzhou Siyao Pharmaceuticals Co., Ltd., Changzhou 213004, China)

**Abstract:** 6,12-Diaryldibenzo[*b,f*][1,5]diazocines (**2a~2d**) were obtained by two molecules cyclative condensation, using 2-aminobenzophenones as raw material. 6,12-Diaryl-5,6,11,12-tetrahydrodibenzo[*b,f*][1,5]diazocines (**3a~3d**) were achieved by LiAlH<sub>4</sub>-reduction of **2a~2d**. A series of novel multi-substituted Tröger's base derivatives (**4a~4d** and **5a~7a**) were synthesized by the reaction of **3a~3d** with different aldehydes or ketones. The structures were characterized by <sup>1</sup>H NMR, <sup>13</sup>C NMR, HR-MS(ESI) and X-ray single crystal diffraction. The splitting of protons of NCH and substituents in bridge in <sup>1</sup>H NMR was well explained by analyzing crystal structures of **3a** (CCDC: 1498564) and **6a** (CCDC: 1498555), which further confirmed that **4~7** adopted non-C<sub>2</sub>-ax-symmetric structure.

**Keywords:** multi-substituted Tröger's base derivative; synthesis; crystal structure; proton splitting

1887 年, Tröger<sup>[1]</sup>首次以对甲苯胺和甲醛为原料, 在盐酸催化下合成了 2,8-二甲基-6*H*,12*H*-5,11-甲基二苯并[*b,f*][1,5]二氮杂环辛(TB, Chart 1)。至此, 对 TB 类化合物的研究已有百年

历史。由于 TB 特殊的倒 V 型扭折构型和 C<sub>2</sub>轴手性<sup>[2]</sup>使其在分子识别<sup>[3~5]</sup>、催化<sup>[6~8]</sup>、医药<sup>[9~12]</sup>和新材料<sup>[13~18]</sup>等领域得到了广泛应用。

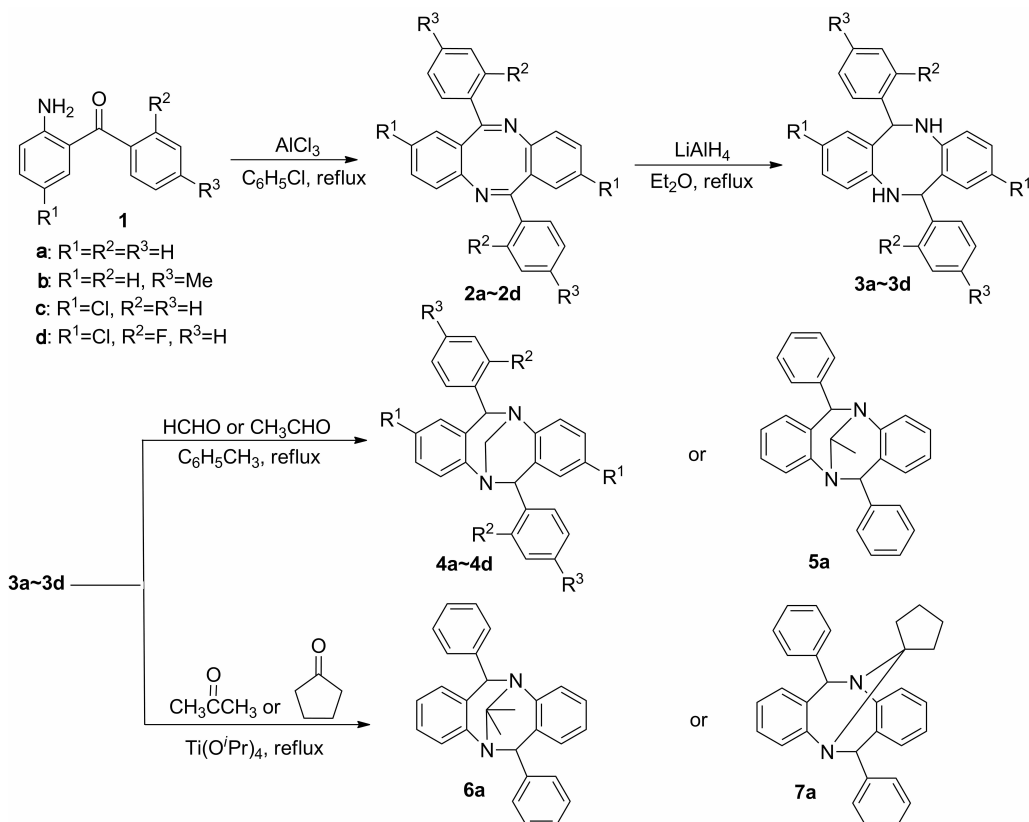
合成 TB 类化合物的方法主要有两种。(1)

收稿日期: 2017-04-11

基金项目: 国家自然科学基金资助项目(21572026); 江苏省高校自然科学研究重大项目(14KJA150002); 江苏省先进催化与绿色制造协同创新中心资助项目(ACGM2016-06-05)

作者简介: 李正义(1979-), 男, 汉族, 江苏扬州人, 博士, 主要从事有机合成和催化的研究。E-mail: zyli@cczu.edu.cn

通信联系人: 孙小强, 教授, E-mail: sunxiaoqiang@yahoo.com



Scheme 1

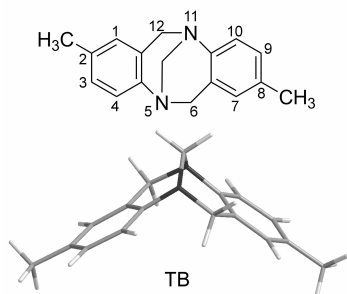


Chart 1

一步合成法:盐酸催化下甲缩醛和对甲苯胺反应合成 TB。虽然该方法在后续研究工作中得到了大量改进,如利用 Lewis 酸(如  $\text{AlCl}_3$ )<sup>[19]</sup>, TFA<sup>[20]</sup>,超强酸<sup>[21]</sup>或离子液体<sup>[22]</sup>作催化剂,但该方法只适用于合成含烷基等推电子基团的对称 TB 衍生物。(2)片段合成法:先合成不同取代 2-氨基-N-芳基苄胺中间体,然后与醛缩合环化合成 TB 衍生物<sup>[23~24]</sup>。该方法克服了一步合成法的底物缺陷,适用于合成不对称 TB 类衍生物,但也存在中间体的合成步骤较多,TB 总收率相对较低等缺点。Didier D 等<sup>[23]</sup>以 1H-苯并[d][1,3]噁嗪-2,4-二酮为原料,先与对溴苯胺反应制得 2-氨基-N-(4-溴苯基)苯甲酰胺,然后将酰胺还原制得 2-

氨基-N-(4-溴苯基)苄胺前体,最后与多聚甲醛在三氟乙酸催化下发生环化缩合反应,合成了不对称的 2-溴-6H,12H-5,11-甲基二苯并[b,f][1,5]二氮杂环辛,3 步反应的总收率仅 6.3%。

TB 的结构修饰位点较为单一,多为芳环、杂环侧翼体系,对 6,12-位亚甲基进行结构修饰的方法鲜有报道。Dawaigher S 等<sup>[25]</sup>报道了一种由 TB 直接合成 6,12-取代 TB 衍生物的方法。但是该方法的反应条件比较苛刻,且后处理复杂。因此,寻找一种简便、高效的合成多取代(尤其是 6,12-取代)TB 衍生物的方法具有重要的实际意义。

本文以邻氨基二苯甲酮(**1a~1d**)为原料,经两分子环化缩合反应制得 6,12-二芳基二苯并[b,f][1,5]二氮杂环辛四烯(**2a~2d**); **2a~2d**经  $\text{LiAlH}_4$ 还原制得 6,12-二芳基-5,6,11,12-四氢二苯并[b,f][1,5]二氮杂环辛(**3a~3d**); **3a~3d**与醛(或酮)反应,合成了一系列新型的多取代 Tröger's base 衍生物(**4a~4d** 和 **5a~7a**, Scheme 1),其结构经 $^1\text{H NMR}$ ,  $^{13}\text{C NMR}$ , HR-MS(ESI)和 X-射线单晶衍射表征。通过对分析架桥前后 **3a** 和 **6a** 的晶体结构和 $^1\text{H NMR}$ ,研究了该类化合物的对称结构。

## 1 实验部分

### 1.1 仪器与试剂

SGW X-4 型显微熔点仪; AVANCE 300 MHz 型核磁共振仪( $\text{CDCl}_3$ 为溶剂,TMS 为内标); Agilent 6540 型质谱仪。

所用试剂均为分析纯。

### 1.2 合成

#### (1) **2a~2d** 的合成(以 **2a** 为例)

在单口烧瓶中依次加入 **1a** 5.92 g (30 mmol), 无水氯化铝 2.24 g (16.8 mmol) 和氯苯 45 mL, 回流反应 7~8 h。冷却至室温, 减压蒸除溶剂, 残余物用二氯甲烷(40 mL)溶解, 依次用稀 NaOH 溶液和饱和食盐水洗涤, 无水硫酸镁干燥, 抽滤, 滤液浓缩后用混合溶剂 [A = V(二氯甲烷):V(乙醇) = 1:5] 重结晶得 **2a** 5.01 g。

用类似的方法合成 **2b~2d**。

**6,12-二苯基二苯并[b,f][1,5]二氮杂环辛四烯(2a):** 黄色固体, 收率 85%, m. p. 185~187 °C (191~193 °C<sup>[26]</sup>);  $^1\text{H}$  NMR  $\delta$ : 7.78~7.75 (m, 4H), 7.40~7.25 (m, 8H), 7.05~6.95 (m, 6H);  $^{13}\text{C}$  NMR  $\delta$ : 169.6, 159.9, 138.0, 131.1, 129.7, 129.4, 128.2, 127.6, 126.9, 123.4, 120.9。

**6,12-二(3-甲基苯基)二苯并[b,f][1,5]二氮杂环辛四烯(2b):** 黄色固体, 收率 76%, m. p. 190~191 °C (190~191 °C<sup>[27]</sup>);  $^1\text{H}$  NMR  $\delta$ : 7.13~7.10 (m, 2H), 6.98~6.95 (m, 2H), 6.88~6.85 (m, 4H), 6.78~6.73 (m, 8H), 4.51 (s, 2H), 2.14 (s, 6H);  $^{13}\text{C}$  NMR  $\delta$ : 150.8, 138.4, 136.2, 134.4, 129.0, 128.0, 124.6, 119.7, 109.9, 82.7, 20.9。

**2,8-二氯-6,12-二苯基二苯并[b,f][1,5]二氮杂环辛四烯(2c):** 黄色固体, 收率 79%, m. p. 216~218 °C (217~219 °C<sup>[26]</sup>);  $^1\text{H}$  NMR  $\delta$ : 7.74~7.71 (m, 4H), 7.46~7.29 (m, 8H), 6.99~6.95 (m, 4H);  $^{13}\text{C}$  NMR  $\delta$ : 168.8, 150.2, 137.2, 131.6, 130.1, 129.4, 129.1, 128.4, 128.1, 127.2, 122.5。

**2,8-二氯-6,12-二(2-氟苯基)二苯并[b,f][1,5]二氮杂环辛四烯(2d):** 黄色固体, 收率 70%, m. p. 219~220 °C;  $^1\text{H}$  NMR  $\delta$ : 7.86~7.80 (m, 2H, ArH), 7.48~7.40 (m, 2H, ArH),

7.32~7.28 (m, 2H, ArH), 7.24~7.18 (m, 2H, ArH), 7.07~6.91 (m, 6H, ArH);  $^{13}\text{C}$  NMR  $\delta$ : 165.9, 163.0, 159.6, 148.3, 133.1, 131.3, 130.1, 129.6, 126.0, 124.2, 122.7, 116.9, 116.6; HR-MS(ESI)  $m/z$ : Calcd for  $\text{C}_{26}\text{H}_{15}\text{N}_2\text{F}_2\text{Cl}_2$  { [M + H]<sup>+</sup> } 463.058 0, found 463.057 2。

#### (2) **3a~3d** 的合成(以 **3a** 为例)

在单口烧瓶中依次加入 **2a** 5.01 g (14 mmol), 氢化铝锂 0.66 g (17.4 mmol) 和乙醚 60 mL, 回流反应 12~16 h。冷却至室温, 减压蒸除溶剂, 加水 10 mL, 用  $\text{CHCl}_3$  萃取, 有机相用无水硫酸镁干燥, 抽滤, 滤液浓缩后用混合溶剂 A 重结晶得 **3a** 3.85 g。

用类似的方法合成 **3b~3d**。

**6,12-二苯基-5,6,11,12-四氢二苯并[b,f][1,5]二氮杂环辛(3a):** 白色固体, 收率 76%, m. p. 225~226 °C;  $^1\text{H}$  NMR  $\delta$ : 7.34~7.21 (m, 10H, ArH), 7.07~7.01 (m, 2H, ArH), 6.82~6.72 (m, 6H, ArH), 5.66 (s, 2H, CH), 4.46 (s, 2H, NH);  $^{13}\text{C}$  NMR  $\delta$ : 150.9, 141.3, 134.1, 129.1, 128.1, 127.2, 126.8, 124.6, 119.8, 110.1, 83.1; HR-MS (ESI)  $m/z$ : Calcd for  $\text{C}_{26}\text{H}_{23}\text{N}_2$  { [M + H]<sup>+</sup> } 363.186 1, found 363.186 8。

**6,12-二(3-甲基苯基)-5,6,11,12-四氢二苯并[b,f][1,5]二氮杂环辛(3b):** 白色固体, 收率 67%, m. p. 203~204 °C;  $^1\text{H}$  NMR  $\delta$ : 7.19~7.10 (m, 8H, ArH), 7.07~7.01 (m, 2H, ArH), 6.82~6.72 (m, 6H, ArH), 5.64 (s, 2H, CH), 4.55 (s, 2H, NH), 2.32 (s, 6H,  $\text{CH}_3$ );  $^{13}\text{C}$  NMR  $\delta$ : 147.0, 140.4, 136.6, 131.2, 130.8, 129.1, 127.8, 127.3, 122.3, 121.1, 64.6, 21.1; HR-MS(ESI)  $m/z$ : Calcd for  $\text{C}_{28}\text{H}_{27}\text{N}_2$  { [M + H]<sup>+</sup> } 391.217 4, found 391.216 5。

**2,8-二氯-6,12-二苯基-5,6,11,12-四氢二苯并[b,f][1,5]二氮杂环辛(3c):** 白色固体, 收率 72%, m. p. 227~228 °C;  $^1\text{H}$  NMR  $\delta$ : 7.36~7.23 (m, 10H, ArH), 7.03 (dd,  $J$  = 8.4 Hz, 2.4 Hz, 2H, ArH), 6.79~6.72 (m, 4H, ArH), 5.59 (s, 2H, CH), 4.57 (s, 2H, NH);  $^{13}\text{C}$  NMR  $\delta$ : 145.0, 142.1, 132.4, 130.5, 128.7, 128.1, 127.6, 127.2, 126.3, 123.8, 64.5; HR-MS (ESI)  $m/z$ : Calcd for  $\text{C}_{26}\text{H}_{21}\text{N}_2\text{Cl}_2$  { [M + H]<sup>+</sup> } 431.108 2, found 431.107 3。

2,8-二氯-6,12-二(2-氟苯基)-5,6,11,12-四氢二苯并[*b,f*][1,5]二氮杂环辛(**3d**)：白色固体，收率69%，m.p.219~220℃；<sup>1</sup>H NMR δ: 7.43~7.27(m, 10H, ArH), 7.15~7.14(m, 2H, ArH), 6.91(d, *J*=2.1 Hz, 2H, ArH), 5.33(s, 2H, CH), 4.85(s, 2H, NH)；<sup>13</sup>C NMR δ: 144.9, 142.3, 137.4, 130.4, 130.1, 129.1, 128.9, 128.4, 127.9, 127.6, 127.5, 72.0；HR-MS(ESI) *m/z*: Calcd for C<sub>26</sub>H<sub>18</sub>N<sub>2</sub>F<sub>2</sub>Cl<sub>2</sub> {[M + H]<sup>+</sup>} 466.0815, found 466.0821。

### (3) **4a~4d** 和 **5a** 的合成(以 **4a** 为例)

在单口烧瓶中加入 **3a** 1.81 g (5 mmol)，37% 甲醛 5 mL 和甲苯 30 mL，回流反应至终点(TLC 检测，展开剂：B = 乙酸乙酯/石油醚 = 1/6, V/V)。冷却至室温，减压蒸除溶剂，加水 15 mL，用 CH<sub>2</sub>Cl<sub>2</sub> (3 × 25 mL) 萃取，合并有机相，用无水硫酸镁干燥，抽滤，滤液浓缩后用混合溶剂(A = 1/6)重结晶得 **4a** 1.72 g。

用类似的方法合成 **4b~4d** 和 **5a**(以 37% 乙醛替代 37% 甲醛)。

6,12-二苯基-6*H*,12*H*-5,11-甲基二苯并[*b,f*][1,5]二氮杂环辛(**4a**)：白色固体，收率92%，m.p.171~173℃；<sup>1</sup>H NMR δ: 7.77(d, *J*=5.7 Hz, 1H, ArH), 7.49~7.28(m, 9H, ArH), 7.02~6.91(m, 4H, ArH), 6.83(d, *J*=7.8 Hz, 1H, ArH), 6.73~6.67(m, 1H, ArH), 6.24(d, *J*=6.6 Hz, 1H, ArH), 5.95(s, 1H, CH), 5.65(d, *J*=8.1 Hz, 1H, ArH), 5.49(s, 1H, CH), 4.40(q, *J*=12.9 Hz, 2H, CH<sub>2</sub>)；<sup>13</sup>C NMR δ: 149.4, 143.6, 143.4, 140.2, 132.7, 131.5, 130.6, 129.5, 129.22, 129.19, 129.1, 129.0, 128.3, 128.2, 127.8, 127.4, 127.3, 125.4, 125.2, 123.8, 123.6, 70.3, 70.0, 62.8；HR-MS(ESI) *m/z*: Calcd for C<sub>27</sub>H<sub>21</sub>N<sub>2</sub> {[M + H]<sup>+</sup>} 375.1861, found 375.1872。

6,12-二(3-甲基苯基)-6*H*,12*H*-5,11-甲基二苯并[*b,f*][1,5]二氮杂环辛(**4b**)：白色固体，收率92%，m.p.213~214℃；<sup>1</sup>H NMR δ: 7.65(d, *J*=6.3 Hz, 1H, ArH), 7.43(d, *J*=7.8 Hz, 1H, ArH), 7.27~7.25(m, 4H, ArH), 7.17(d, *J*=7.8 Hz, 2H, ArH), 6.95~6.80(m, 5H, ArH), 6.75~6.69(m, 1H, ArH), 6.10(d, *J*=6.9 Hz, 1H, ArH), 5.91(s, 1H, CH), 5.70(d, *J*=8.1

Hz, 1H, ArH), 5.45(s, 1H, CH), 4.39(q, *J*=12.9 Hz, 2H, CH<sub>2</sub>), 2.38(s, 3H, CH<sub>3</sub>), 2.36(s, 3H, CH<sub>3</sub>)；<sup>13</sup>C NMR δ: 149.4, 143.7, 140.6, 137.9, 137.11, 137.08, 132.6, 131.4, 130.8, 129.4, 129.3, 129.2, 129.0, 128.9, 128.0, 127.7, 125.3, 125.2, 123.7, 123.5, 70.1, 69.8, 62.7, 21.3, 21.1；HR-MS(ESI) *m/z*: Calcd for C<sub>29</sub>H<sub>27</sub>N<sub>2</sub> {[M + H]<sup>+</sup>} 403.2174, found 403.2167。

2,8-二氯-6,12-二苯基-6*H*,12*H*-5,11-甲基二苯并[*b,f*][1,5]二氮杂环辛(**4c**)：白色固体，收率85%，m.p.172~173℃；<sup>1</sup>H NMR δ: 7.73(d, *J*=6.3 Hz, 1H, ArH), 7.41~7.32(m, 9H, ArH), 7.10~7.24(m, 1H, ArH), 6.92(d, *J*=2.4 Hz, 1H, ArH), 6.85~6.84(m, 1H, ArH), 6.68(dd, *J*=8.7 Hz, 2.4 Hz, 1H, ArH), 6.28(d, *J*=6.6 Hz, 1H, ArH), 5.88(s, 1H, CH), 5.55(d, *J*=9.0 Hz, 1H, ArH), 5.38(s, 1H, CH), 4.33(q, *J*=12.9 Hz, 2H, CH<sub>2</sub>)；<sup>13</sup>C NMR δ: 147.7, 147.2, 142.3, 142.0, 141.5, 139.0, 132.7, 132.1, 131.2, 130.53, 130.45, 129.4, 129.31, 129.29, 128.8, 128.7, 128.6, 128.5, 128.3, 127.9, 127.8, 126.6, 126.5, 125.9, 70.2, 69.8, 62.7；HR-MS(ESI) *m/z*: Calcd for C<sub>27</sub>H<sub>21</sub>N<sub>2</sub>Cl<sub>2</sub> {[M + H]<sup>+</sup>} 443.1082, found 443.1088。

2,8-二氯-6,12-二(2-氟苯基)-6*H*,12*H*-5,11-甲基二苯并[*b,f*][1,5]二氮杂环辛(**4d**)：白色固体，收率82%，m.p.>300℃；<sup>1</sup>H NMR δ: 7.55(dd, *J*=8.7 Hz, 3.0 Hz, 1H, ArH), 7.42~7.26(m, 8H, ArH), 7.24~7.17(m, 1H, ArH), 7.04(t, *J*=7.5 Hz, 1H, ArH), 6.95~6.82(m, 2H, ArH), 5.64(s, 2H, CH), 5.31(d, *J*=7.8 Hz, 1H, CH), 3.99(d, *J*=15.9 Hz, 2H, CH<sub>2</sub>)；<sup>13</sup>C NMR δ: 163.3, 160.0, 147.6, 147.5, 147.3, 141.5, 130.8, 130.1, 130.04, 129.95, 129.92, 129.4, 129.3, 129.04, 128.97, 128.92, 128.89, 128.75, 128.69, 128.5, 128.2, 127.9, 126.6, 126.50, 126.45, 123.90, 123.85, 123.82, 116.0, 115.7, 69.9, 64.1, 64.0, 63.74, 63.71, 55.2；HR-MS(ESI) *m/z*: Calcd for C<sub>27</sub>H<sub>18</sub>N<sub>2</sub>FCl<sub>2</sub> {[M + H]<sup>+</sup>} 478.0815, found 478.0811。

**13-甲基-6,12-二苯基-6*H*,12*H*-5,11-甲基二苯并[*b,f*][1,5]二氮杂环辛(5a):**白色固体,收率71%,m.p.169~171℃;  $^1\text{H}$  NMR  $\delta$ : 7.77~7.68(m, 3H, ArH), 7.48~7.24(m, 7H, ArH), 7.14(d,  $J=7.5$  Hz, 1H, ArH), 7.01~6.89(m, 3H, ArH), 6.80~6.69(m, 2H, ArH), 6.06(d,  $J=7.8$  Hz, 1H, ArH), 5.94(s, 1H, NCH), 5.77(d,  $J=8.1$  Hz, 1H, ArH), 5.53(s, 1H, NCH), 4.72(q,  $J=6.9$  Hz, 1H, NCHN), 0.99(d,  $J=6.9$  Hz, 3H, CH<sub>3</sub>);  $^{13}\text{C}$  NMR  $\delta$ : 152.6, 143.1, 140.2, 132.8, 131.7, 131.3, 131.0, 129.5, 129.4, 128.5, 128.2, 128.1, 128.0, 127.7, 127.3, 127.1, 126.7, 125.7, 125.0, 123.6, 123.3, 71.9, 71.2, 66.9, 20.5; HR-MS (ESI)  $m/z$ : Calcd for C<sub>28</sub>H<sub>25</sub>N<sub>2</sub> {[M + H]<sup>+</sup>} 389.2018, found 389.2010。

#### (4) 6a 和 7a 的合成

在单口烧瓶中加入 3a 1.50 g(4 mmol), 四异丙醇钛 3.4 g(12 mmol) 和丙酮 30 mL, 回流反应至终点(TLC 检测, 展开剂:B)。冷却至室温, 减压蒸除溶剂, 残余物用二氯甲烷(40 mL)溶解, 依次用稀 NaOH 溶液和饱和食盐水洗涤, 无水硫酸镁干燥, 抽滤, 滤液浓缩后经硅胶柱层析(洗脱剂:B)纯化得 6a 1.37 g。

以环戊酮替代丙酮, 用类似的方法合成 7a。

**13,13-二甲基-6,12-二苯基-6*H*,12*H*-5,11-甲基二苯并[*b,f*][1,5]二氮杂环辛(6a):**白色固体, 收率 85%, m.p. 196~198℃;  $^1\text{H}$  NMR  $\delta$ : 7.72(d,  $J=7.5$  Hz, 3H, ArH), 7.49~7.41(m, 2H, ArH), 7.37~7.25(m, 5H, ArH), 7.14(d,  $J=7.5$  Hz, 1H, ArH), 7.01~6.88(m, 3H, ArH), 6.77~6.64(m, 2H, ArH), 5.99(d,  $J=7.8$  Hz, 1H, ArH), 5.88(s, 1H, CH), 5.76(d,  $J=8.1$  Hz, 1H, ArH), 5.63(s, 1H, CH), 1.56(s, 3H, CH<sub>3</sub>), 1.01(s, 3H, CH<sub>3</sub>);  $^{13}\text{C}$  NMR  $\delta$ : 151.4, 143.9, 143.8, 140.8, 132.9, 132.5, 131.4, 130.9, 129.5, 128.7, 128.2, 128.04, 128.00, 127.9, 127.83, 127.80, 127.2, 126.5, 126.2, 125.3, 123.5, 123.2, 71.5, 69.2, 65.9, 29.4, 27.3; HR-MS (ESI)  $m/z$ : Calcd for C<sub>29</sub>H<sub>27</sub>N<sub>2</sub> {[M + H]<sup>+</sup>} 403.2174, found 403.2182。

**6',12'-二苯基-6'*H*,12'*H*-螺[环戊烷-1,13'-[5,11]甲基二苯并[*b,f*][1,5]二氮杂环辛(7a):**

白色固体, 收率 84%, m.p. 214~215℃;  $^1\text{H}$  NMR  $\delta$ : 7.75~7.68(m, 3H, ArH), 7.50~7.28(m, 5H, ArH), 7.26~7.23(m, 2H, ArH), 7.14(d,  $J=7.2$  Hz, 1H, ArH), 6.98~6.87(m, 3H, ArH), 6.75(d,  $J=7.8$  Hz, 1H, ArH), 6.64(t,  $J=7.8$  Hz, 1H, ArH), 5.99(d,  $J=7.8$  Hz, 1H, ArH), 5.87(s, 1H, CH), 5.78(d,  $J=8.1$  Hz, 1H, ArH), 5.60(s, 1H, CH), 2.21~1.79(m, 2H, CH<sub>2</sub>), 1.76~1.63(m, 2H, CH<sub>2</sub>), 1.58~1.00(m, 4H, CH<sub>2</sub>);  $^{13}\text{C}$  NMR  $\delta$ : 151.9, 144.8, 143.8, 141.0, 132.8, 132.14, 132.05, 130.7, 129.5, 128.9, 128.4, 128.2, 127.94, 127.91, 127.7, 127.6, 127.2, 126.5, 126.0, 125.1, 123.4, 123.0, 82.3, 69.2, 66.6, 36.83, 36.76, 22.08, 22.05; HR-MS (ESI)  $m/z$ : Calcd for C<sub>31</sub>H<sub>29</sub>N<sub>2</sub> {[M + H]<sup>+</sup>} 429.2331, found 429.2324。

#### 1.3 晶体结构测定

分别将 3a(0.22 mm × 0.19 mm × 0.18 mm) 和 6a(0.32 mm × 0.28 mm × 0.27 mm) 的单晶置于衍射仪上, 用经石墨单色化的 MoK $\alpha$  射线( $\lambda = 0.071\ 073$  nm), 于 296 K 以  $\omega$ -2θ 扫描方式收集衍射点(13 022 个和 11 201 个, 其中独立衍射点 2 178 个和 3 810 个)。3a 和 6a 的结构采用直接法解出<sup>[29]</sup>, 经全矩阵最小二乘法修正, 氢原子位置由理论加氢法确定。

## 2 结果与讨论

### 2.1 合成

首先, 以 1a~1d 为原料, 氯苯为溶剂, 在无水三氯化铝催化下发生双分子脱水缩合环化反应制得 2a~2d(70%~85%)<sup>[26~28]</sup>; 然后, 采用 Li-AlH<sub>4</sub> 在乙醚中将 2 的 C=N 还原制得 3a~3d(67%~76%); 最后, 3a~3d 与不同类型的醛、酮进行脱水缩合反应, 高效地合成了 4a~4d 和 5a~7a(71%~92%)。

在第 3 步架桥反应过程中, 醛、酮与 3 的反应条件不同。以 3a 为模型底物, 使用甲醛或乙醛架桥时, 直接选用醛的水溶液(37%)参与反应, 无需任何催化剂, 在甲苯中回流反应即可合成 4a(92%)和 5a(71%)。但是选用丙酮或环戊酮架桥时, 由于酮的反应活性相对较低且空间位阻较

大，则需要以酮自身作溶剂，同时加入催化剂催化反应。以 **3a** 与丙酮的架桥反应为模型反应，分别考察了四异丙醇钛、无水氯化铝和四氯化钛的催化活性，结果表明：**6a** 收率分别为 85%，13% 和 19%。因此，最佳催化剂为四异丙醇钛。

## 2.2 晶体结构

图 1 和图 2 分别为 **3a** 和 **6a** 的晶体结构和  $^1\text{H}$  NMR 谱图，表 1 为 **3a** 和 **6a** 的晶体结构参数。

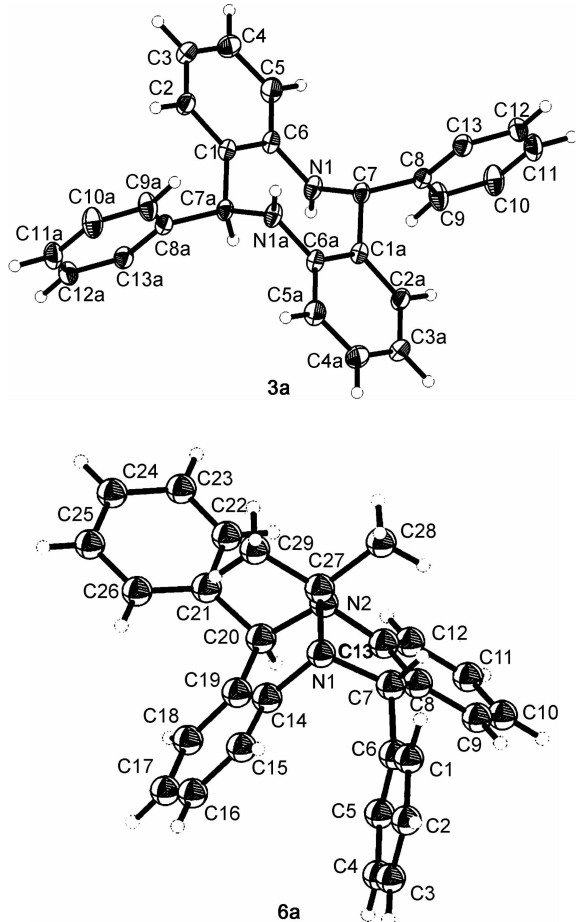


图 1 **3a** 和 **6a** 的晶体结构

Figure 1 Crystal structures of **3a** and **6a**

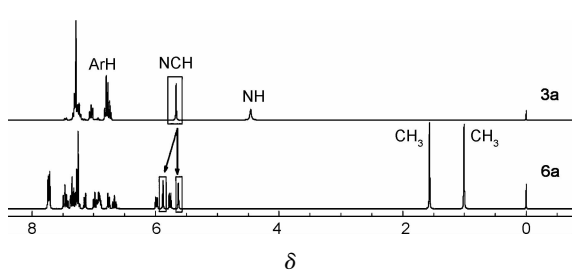


图 2 **3a** 和 **6a** 的  $^1\text{H}$  NMR 谱图

Figure 2  $^1\text{H}$  NMR spectra of **3a** and **6a**

表 1 **3a** 和 **6a** 的晶体学数据

Table 1 Crystal data of **3a** and **6a**

Comp	<b>3a</b>	<b>6a</b>
CCDC	1498564	1498555
Empirical formula	C <sub>26</sub> H <sub>22</sub> N <sub>2</sub>	C <sub>29</sub> H <sub>26</sub> N <sub>2</sub>
Formula weight	362.47	402.53
Temperature/K	296	296
Crystal system	monoclinic	monoclinic
Space group	<i>P</i> 2 <sub>1</sub> /c	<i>C</i> 2/c
<i>a</i> /nm	8.9477(12)	16.315(4)
<i>b</i> /nm	11.4292(15)	7.8202(14)
<i>c</i> /nm	11.1688(11)	34.198(6)
$\alpha/^\circ$	90	90
$\beta/^\circ$	123.190	95.775(8)
$\gamma/^\circ$	90	90
<i>V</i> /nm <sup>3</sup>	955.8(2)	4341.1(15)
<i>Z</i>	2	8
<i>Dc/g·cm<sup>-3</sup></i>	1.259	1.232
$\mu/\text{mm}^{-1}$	0.074	0.072
<i>F</i> (000)	384	1712
2θ range/ $^\circ$	5.42~47.34 -7≤ <i>h</i> ≤11	4.58~59.72 -9≤ <i>h</i> ≤19
Limiting indices	-14≤ <i>k</i> ≤14 -14≤ <i>l</i> ≤13	-9≤ <i>k</i> ≤9 -40≤ <i>l</i> ≤39
Reflections	6190/2178	11591/3810
collected/unique	[ <i>R</i> (int)=0.0534] [ <i>R</i> (int)=0.0718]	
Data/restraints /parameters	2178/0/127	3810/0/280
GOF on <i>F</i> <sup>2</sup>	1.016	0.961
<i>R</i> <sub>1</sub> , <i>wR</i> <sub>2</sub> <sup>a</sup>	0.0621, 0.1907	0.0626, 0.1533
<i>R</i> <sub>1</sub> , <i>wR</i> <sub>2</sub> <sup>b</sup>	0.1123, 0.2422	0.1148, 0.1854

<sup>a</sup>[*I*>2σ(*I*)]; <sup>b</sup>[all data]。

由图 1 可见，架桥前后八元环骨架的构象不同。架桥前，**3a** 的空间群为 *P*2<sub>1</sub>/c，八元环骨架呈现椅式构象，四个苯环两两对称分布，整个分子为中央对称结构，导致  $^1\text{H}$  NMR 中八元环骨架上两个 NCH 的吸收峰只呈现一个单峰。架桥后，**6a** 的空间群为 *C*2/c，与经典的 TB 结构类似，八元环骨架呈现倒 V 型构象，其中八元环骨架并连的两个苯环 (C8~C12)，(C14~C19) 和一个取代苯环 (C1~C6) 处于同侧，另一个取代苯环 (C21~

C26) 处于异侧,整个分子为非对称结构,导致<sup>1</sup>H NMR中八元环骨架上两个NCH的吸收峰为两个单峰,且桥上两个甲基质子也表现为两个单峰。此外,**6a** 苯环上芳氢的裂分组数也明显增多。

此外,与经典的C<sub>2</sub>轴对称TB衍生物结构不同,**6,12**-二芳基取代TB衍生物具有特殊的立体结构,其<sup>1</sup>H NMR谱中显示八元氮杂环骨架上的两个NCH质子的吸收峰为两个单峰,表明该类化合物为非C<sub>2</sub>轴对称结构。

### 3 结论

合成了一系列结构新颖的多取代TB衍生物(**4a~4d**和**5a~7a**)。该方法具有修饰方法简单、操作简便和收率高等特点,尤其是可以方便地引入6,12-取代基和不同的桥环。通过对分析架桥前后**3a**和**6a**的晶体结构和<sup>1</sup>H NMR,解释了该类化合物的<sup>1</sup>H NMR中NCH质子和桥上取代基质子裂分的原因,证实了该类化合物的非C<sub>2</sub>轴对称结构,为该类化合物的结构和应用研究提供了重要参考。

### 参考文献

- [1] Tröger J. Ueber einige mittelst nascirenden formaldehydes entstehende basen[J]. *J Prakt Chem*, 1887, **36**: 225–245.
- [2] Slater N H, Buckley B R, Elsegood M R J, et al. Controlling the assembly of C<sub>2</sub>-symmetric molecular tectons using a thiocarbamate appended carbocyclic cleft molecule analogous to Tröger's base[J]. *Cryst Growth Des*, 2016, **16**(7): 3846–3852.
- [3] Shanmugaraju S, Dabadi C, Byrne K, et al. A supramolecular Tröger's base derived coordination zinc polymer for fluorescent sensing of phenolic-nitroaromatic explosives in water[J]. *Chem Sci*, 2017, **8**(2): 1535–1546.
- [4] Kejík Z, Bríza T, Havlík M, et al. Specific ligands based on Tröger's base derivatives for the recognition of glycosaminoglycans[J]. *Dyes Pigments*, 2016, **134**: 212–218.
- [5] Bhaskar R M, Shailaja M, Manjula A, et al. Design and synthesis of Troger's base ditopic receptors: Host-guest interactions, a combined theoretical and experimental study[J]. *Org Biomol Chem*, 2015, **13**(4): 1141–1149.
- [6] Du X, Sun Y, Tan B, et al. Tröger's base-functionali-
 sed organic nanoporous polymer for heterogeneous catalysis[J]. *Chem Commun*, 2010, **46**(6): 970–972.
- [7] Wu H, Chen X M, Wan Y, et al. Stereoselective Mannich reactions catalyzed by Tröger's base derivatives in aqueous media[J]. *Tetrahedron Lett*, 2009, **50**(9): 1062–1065.
- [8] Cabreroantonino J R, García T, Rubiomarqués P, et al. Synthesis of organic-inorganic hybrid solids with copper complex framework and their catalytic activity for the S-arylation and the azide-alkyne cycloaddition reactions[J]. *Acs Catal*, 2011, **1**(2): 147–158.
- [9] Murphy S, Bright S A, Poynton F E, et al. Synthesis, photophysical and cytotoxicity evaluations of DNA targeting agents based on 3-amino-1,8-naphthalimide derived Tröger's bases[J]. *Org Biomol Chem*, 2014, **12**(34): 6610–6623.
- [10] Kaplánek R, Havlík M, Dolensk B, et al. Synthesis and biological activity evaluation of hydrazone derivatives based on a Tröger's base skeleton[J]. *Bioorg Med Chem*, 2015, **23**(7): 1651–1659.
- [11] Manda B R, Alla M, Ganji R J, et al. Discovery of Tröger's base analogues as selective inhibitors against human breast cancer cell line: design, synthesis and cytotoxic evaluation[J]. *Eur J Med Chem*, 2014, **86**: 39–47.
- [12] Shishkanova T V, Havlík M, Dendisová M, et al. Synthesis and deposition of Tröger base polymer on electrode surface for potentiometric detection of neuroblastoma tumor marker metabolite[J]. *Chem Commun*, 2016, **52**(80): 11991–11994.
- [13] Xiao Y, Zhang L, Xu L, et al. Molecular design of Tröger's base-based polymers with intrinsic microporosity for gas separation[J]. *J Membrane Sci*, 2017, **521**: 65–72.
- [14] Zhuang Y, Seong J G, Do Y S, et al. Soluble, microporous, Troger's Base copolyimides with tunable membrane performance for gas separation[J]. *Chem Commun*, 2016, **52**(19): 3817–3820.
- [15] Neogi I, Jhulkı S, Ghosh A, et al. Amorphous host materials based on Troger's base scaffold for application in phosphorescent organic light-emitting diodes[J]. *Acs Appl Mater Interfaces*, 2015, **7**(5): 3298–3305.
- [16] Braukyla T, Sakai N, Daskeviciene M, et al. Synthesis and investigation of the V-shaped Tröger's base derivatives as hole-transporting materials[J]. *Chem Asian J*, 2016, **11**(14): 2049–2056.
- [17] Neogi I, Jhulkı S, Rawat M, et al. Organic amorphous hole-transporting materials based on Tröger's s

- base; Alternatives to NPB [ J ]. Rsc Adv, 2015, **5** (34) :26806 – 26810.
- [18] 褚衍环, 韩辉, 李维, 等. 具有聚集态荧光增强性质的新型 Tröger's Base 衍生物的合成与表征 [J]. 有机化学, 2016, **36**(2) :336 – 345.
- [19] Satishkumar S, Periasamy M. Chiral recognition of carboxylic acids by Tröger's base derivatives [J]. Tetrahedron Asymmetry, 2009, **20**(19) :2257 – 2262.
- [20] Ghanem B, Alaslai N, Miao X, et al. Novel 6FDA-based polyimides derived from sterically hindered Tröger's base diamines: Synthesis and gas permeation properties [J]. Polymer, 2016, **96** :13 – 19.
- [21] Vardelle E, Martin-Mingot A, Jouannetaud M P, et al. An efficient access to new Tröger's bases using superacidic chemistry [J]. Tetrahedron Lett, 2009, **50** (10) :1093 – 1096.
- [22] Hui W, Pu Z, Yang S, et al. Convenient syntheses of Tröger's base derivatives in ionic liquids [J]. Synlett, 2007, **38**(25) :336 – 338.
- [23] Didier D, Sergeyev S. Bromination and iodination of 6H,12H-5,11-methanodibenzo [ b,f ] [ 1,5 ] diazocine: A convenient entry to unsymmetrical analogs of Tröger's base [J]. Eur J Org Chem, 2007, (23) :3905 – 3910.
- [24] Webb T H, Wilcox C S. Improved synthesis of symmetrical and unsymmetrical 5,11-methanodibenzo [ b,f ] [ 1,5 ] diazocines: Readily available nanoscale structural units [J]. J Org Chem, 1990, **55**(28) :269 – 272.
- [25] Dawaigher S, Måansson K, Ascic E, et al. A protocol for the exo-mono and exo, exo-bis functionalization of the diazocine ring of Tröger's base [J]. J Org Chem, 2015, **80**(24) :12006 – 12014.
- [26] Metlesics W, Resnick T, Silverman G, et al. 6,12-Diphenyldibenzo [ b,f ] [ 1,5 ] diazocines [J]. J Med Chem, 1966, **9**(4) :633 – 634.
- [27] Zhao N, Qiu L, Wang X, et al. Trifluoroacetic acid catalyzed dibenzodiazocine synthesis: Optimization and mechanism study [J]. Tetrahedron, 2012, **68** (47) :9665 – 9671.
- [28] Pettersson B, Bergman J, Svensson P H. Synthetic studies towards 1,5-benzodiazocines [J]. Tetrahedron, 2013, **69**(12) :2647 – 2654.
- [29] Sheldrick G M. A short history of SHELX [J]. Acta Cryst, 2008, **64**(1) :112 – 122.

## 告 作 者

为适应我国信息化建设需要, 实现科技期刊编辑、出版、发行工作的电子化, 推进科技信息交流网络化的进程, 扩大作者学术交流渠道, 本刊已加入《中国学术期刊(光盘版)》, “中国期刊网”, 超星“域出版”, “万方数据——数字化期刊群”, “中教数据”和博看网等出版平台。

作者著作权使用费与本刊稿酬一次性给付。如作者不同意将文章编入该数据库, 请在来稿时声明, 本刊将作适当处理。

本刊所载论文经“学术不端文献检测系统”检测, 凡属“疑似学术不端文献”[由“中国学术期刊(光盘版)电子杂志社”提供]均在所有网络版中删除。